

コルゲート管内の流れ

京都大学工学部 正員 岩佐義朗

管壁の幾何学的形狀が波状を呈すいわゆるコルゲート管も波状凹凸の管径に対する比、凹凸の波長などによって流れに與存する水理学的特徴を与えることが予想される。うなづち、管径に比して凹凸の大きさが十分小さく、かつ波長が短かい場合、管壁の凹凸はあたかも管路につけられた模様粗度のように流れに作用し、また一方、波長が長くなると、流れは断面積が周期的に変わる管路内にそれに相当こよう。

ここでは、コルゲート管が後者のもとここで分類されるときの管内の流れ、すなづち図-1に示す管内の定常流について行なった若干の計算を示す。しかし、その一般的を取り扱は複雑であるから、1波長当たりの平均的な損失水頭と管壁における抵抗力のなす仕事とは釣り合ひ、流速分布や流体圧分布の変化には微小な一次的ななものにすぎないこと、および管径変化も平均径に比して十分小さく、現象が線型問題として解析されることを前提とする。した

がって、解析の限度は自ら定められるわけであつて、詳細な実験資料による高次の数学的モデルによつて行なわれなければならぬ。

図-1に示す管路に対して、一次元解析法を適用すれば連続式およびエネルギー式はそれぞれつまのように表わされる。

$$\frac{d}{dx} \int u dA = 0 \quad (1)$$

$$\frac{d}{dx} \int \left(\frac{q^2}{2g} + \frac{\Omega}{g} + \frac{p}{fg} \right) u dA + \int \frac{C_D}{fg} u_b \sqrt{1 + \left(\frac{du}{dx} \right)^2} ds = 0 \quad (2)$$

ここで、 A : 管の断面積、 u : x 方向の速度成分、 q : 合速度の大きさ、 Ω : 基準面よりのボテンシャル、 p : 流体圧、 u_b : 壁面に沿う抵抗力、 u_b : 壁面付近で抵抗力のなす仕事の貢献となる速度成分、 s : 滑辺の長さである。

いま、上述の前提条件によつてビエゾ水頭の平均的低下率が管路の表面抵抗のなす仕事の割合と釣り合つて仮定する。この状態に対する x 方向の速度成分を u とし、変動を u' 、また x 方向の変動速度を v' 、ビエゾ水頭の変動を h' とおくと、物対象流れに対して円筒座標系を用ひると、連続式、 x 軸方程式、 r 軸方程式はそれぞれつまのように表わされる。

$$\frac{\partial u'}{\partial x} + \frac{\partial v'}{\partial r} + \frac{v'}{r} = 0 \quad (3)$$

および

$$\frac{u_0}{g} \frac{\partial u'}{\partial x} = -\frac{\partial}{\partial x} \left(\frac{u_0}{g} + \frac{p}{g} \right)' = -\frac{\partial h'}{\partial x} \quad (4)$$

$$\frac{u_0}{g} \frac{\partial v'}{\partial x} = -\frac{\partial h'}{\partial r} \quad (5)$$

ここで、高次項を省略してある。 $(3) \sim (4)$ 式より u' , h' を消去し、かつ v' が $x=1$ に固まる周期関数であることをより、 $(3) \sim (5)$ 式の解とここでの v' は

$$v' = [C_1 I_1(pr) + C_2 K_1(pr)] \sin px$$

である。ここで I , K は変形 Bessel 関数である。境界条件として $x=0$ の線型化条件

$$r=0 \quad v'=0, \quad r=r_0+2 \approx r_0 \quad v' \approx \frac{v'}{u_0+u'} \approx \frac{v'}{u_0} \approx \frac{dh}{dx}$$

を用いると、 v' はつぎのようになる。

$$\frac{v'}{u_0} = \frac{r_0}{r_0 + r_0 p} \cdot \frac{I_1(pr)}{I_1(pr_0)} \cos px \quad (6)$$

また u' は (3) 式より境界条件： $\int_0^{r_0+2} 2\pi r(u_0+u') dr = \int_0^{r_0} 2\pi r(u_0+u') dr = Q$ を用いてえらべ、

$$\frac{u'}{u_0} = 2 \frac{r_0}{r_0} \left[1 - \frac{r_0 p}{2} \frac{I_0(pr)}{I_1(pr_0)} \right] \sin px \quad (7)$$

となる。同様に平均的なビエゾ水頭よりの変動 h' も

$$\frac{h'}{r_0} = -2 \frac{r_0}{r_0} \cdot \frac{u_0^2}{gr_0} \left[1 - \frac{r_0 p}{2} \frac{I_0(pr)}{I_1(pr_0)} \right] \sin px = -\frac{u_0^2}{gr_0} \cdot \frac{u'}{u_0} \quad (8)$$

ここで求められる。このようにして、波状崖界面をもつ管路の流れの局所的変動の第1次近似が求められる。ここで、用いた境界条件より管壁近傍ではかえって近似度が悪くなり、波状崖界面の特徴を記述し難くなることが予想される。すなわち、この取り扱いはむしろ一次元的而且確的である。図-2, -3 は v' , u' の r による変化を示すものである。なお、実験的な検討による解析的モデルの展開については目下準備中である。

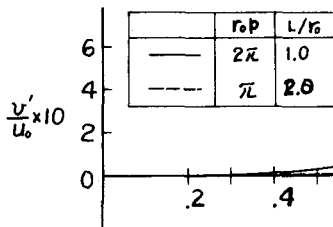


図-2

* 計算上当つて $\sin px$, $\cos px$ は必ずしも 1 とい
う。また $(r_0/r_0) = 0.1$ である。

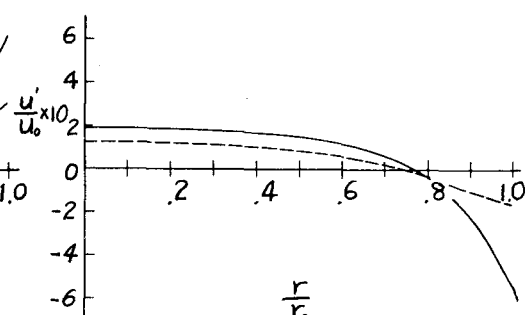


図-3